

神戸大学工学部 正員 魁 源亮  
 神戸大学工学部 学生員 ○ 井口理一郎  
 神戸大学工学部 学生員 木佐幸佳

## まえがき

海面における風の作用に関して、物理的な機構を解明する事が必要であるが、現実の問題として色々な風速に対して海洋での物質拡散の状態がどのようであるのかという事が挙げられる。今回、我々は、風速吹送距離を変えて各場合の海面近傍の乱れを測定し、海面拡散を求め、それがどのように変化するか実験研究を行った。

## 実験装置および実験方法

実験装置は図-1に示すように、長さ4.2m(測定部分3.12m)、幅13.7cm、上部水槽高さ30cm、下部高さ20cmなる風洞水槽で、水が回流するようにしてある。一方から整流格子を通して後、測定部分へ導入された風は他端に設けてある排風口から排風するようにしてある。送風口の幅は13.7cm、高さ10cmで、その下端を静水面に一致するようほぼ水平に取り付けた。送風口附近の風速の横方向の偏り、横方向の偏りは、各々約±4%以内で一様と考えてよいだろう。なお水槽末端部にてトラップを配置し波消しを行った。平均風速はビトーメで行い、傾斜マノメータ(差圧 $\Delta h = 130 \text{ mmHg}$ )で数値を読み取った。又流速変動、風速変動は定温湿度流速計を行い、直線化増幅器に掛けデータレコーダで記録した。得られた値はサンプリング周波数2kHzでA-D変換器に掛けテープにパンチした。測定点は吹送口から50cm, 150cm, 250cmのところで測定した。また補足として6(I), 100(I), 200cmのところで平均風速、平均流速を測定した。それと同時に水位変動を各点で記録した。

## 実験結果

測定点I(吹送口より6cm)における静水面上6cmの風速(以後P.W.Vとする)7m/sに関して断面II, IV, VIでの風速分布を図-2に示す。図-2からRossby(1936)によって提唱されたように対数法則が適用出来るが、水面近くで幾分遠くなる傾向を示している。この原因として、波により気流が亂された結果、生じた固有の現象ではないかといふことなどが見解がある。しかし、波型の界面自体が気流に及ぼす影響が、今までほつまない事、測定に固有の誤差の入る可能性のあることなどを考慮するとほつまないことは言えない。図-2に対応する流速分布を図-3に示す。

## 考察

実測した風速分布より求めた $\alpha$ を図-4に示す。図中の○はJ.Wuの求めた値である。彼は海洋と実験室とでスケールが違う事とWind Wave tankの違いによって風の機構が異なるため、結果は一般性を持たないと言っているが、我々の場合、後者を考慮しなければならぬ。しかし、一応の目安としてプロットしたが、一応の評価は出来ると思われる。又、 $Z_0$ と波高との関係を図-5に示す。これは、80%の小さな $Z_0$ 値(のべ波高)、すなわち波の初期発達段階における海面の粗粒度を示す。図中、○は国司(1963)( $Z_0/h = 6.5 \times 10^{-3} \sim 0.5$ )、●はHidyとPlate(1966)( $Z_0/h = 2.8 \times 10^{-3} \sim 2.0$ )を示す。今回の我々の実験では

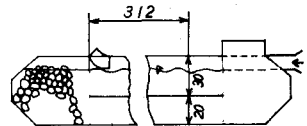


図-1 風洞水槽

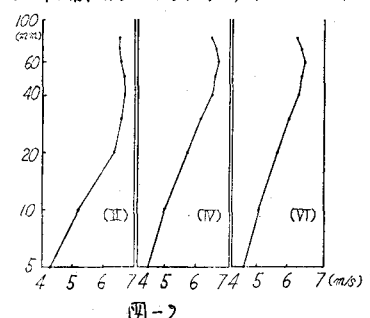


図-2

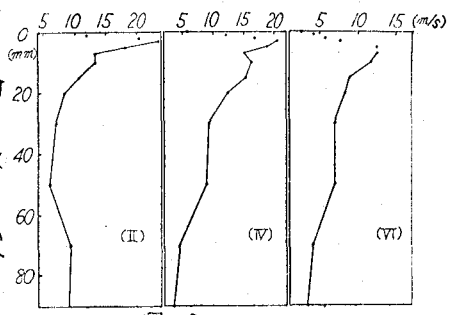
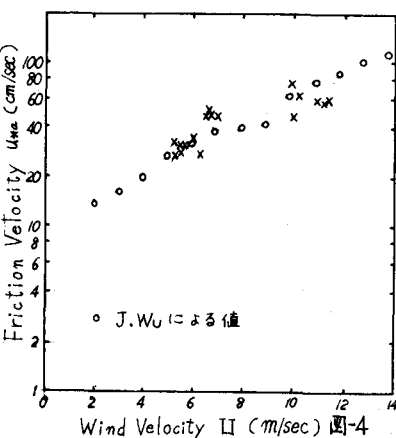


図-3

$80 \text{ m}^2/\text{sec} = 6.9 \times 10^3 \sim 2.5 \times 10^4$  であり、波

の初期発達段階であり、粗面  
に関しては、遷移領域が幾  
分粗面領域に入ると思われ  
る。

図3から風の作用による  
水の流速の乱れが大きい領  
域で深さ2m以内であり、こ  
の領域において波動の影響  
は避け難い。すなわち、これは  
波動による変動と純然たる



Wind Velocity  $U_1$  (m/sec) 図-4

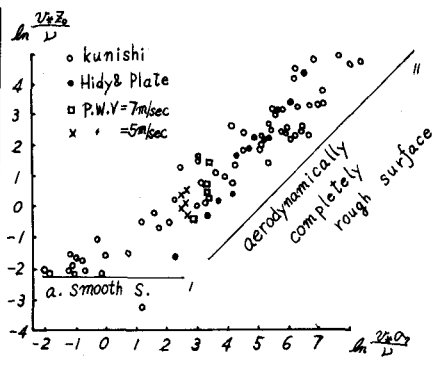


図-5

乱流変動が加わったものと考えられる。 $u'_1$ を波動による変動、 $u'_2$ は純然たる乱流変動として、 $u'_1(t)u'_2(t+\tau)$ を考える。

$$u'_1(t)u'_2(t+\tau) = \{ u'_4(t) + u'_5(t) \} \{ u'_6(t+\tau) + u'_7(t+\tau) \}$$

$$= u'_4(t)u'_6(t+\tau) + u'_4(t)u'_7(t+\tau) + u'_5(t)u'_6(t+\tau) + u'_5(t)u'_7(t+\tau)$$

ところで、碎波を起していない場合、波高のオーダ内では  $u'_4 \approx 0$  と仮定出来る<sup>3)</sup> ので結局のところ

$$u'_1(t)u'_2(t+\tau) = u'_4(t)u'_6(t+\tau) + u'_5(t)u'_7(t+\tau)$$

となる。そこで我々は、求めに自己相関関数において、第2周期以降に現われる大きな周期性のものは波動によるものと考え、元のものから差引いて、純然たる乱流の自己相関係数として。Lagrangeの相関係数を用いると、拡散係数  $K_2$  は

$$K_2 = \overline{u'^2} \int_0^t R_L(\xi) d\xi$$

と表示される。

求めた  $K_2$  の値を表-1に示す。又  $k_{\text{sea}}$  より海面でのせん断力  $\tau_s$ 、 $\tau_w$  が等しいとして、 $u_{\text{sea}} = \sqrt{\beta g / \rho_w}$   $u_{\text{sea}}$  より  $u_{\text{sea}}$  を求め、又流速分布より、流速勾配を求め

$$\rho u_{\text{sea}}^2 = \tau = \rho k_g \frac{\partial u}{\partial y} = \rho \partial^2 K_x \frac{\partial u}{\partial y}$$

より  $\alpha$  を求めると表-2のようになり、ほぼ一定であるとみみなせる。逆に、 $\alpha = 0.6$  とおいて  $K_2$  を水の速度勾配から求めると、

表-1に示す通りとなり拡散係数の両者はほぼ一致する。表-1をみると同一の距離では、風速の増加に従い拡散係数が増加することがわかる。又吹送距離に関しては、ある所までは、距離に応じて増加するが、それ以上は一定か、むしろ減少する

表-1

測点	$\overline{u'^2}$ [cm <sup>2</sup> /sec]	Point Wind Velocity 5 [m/sec]		
		$t * [sec]$	$K$ [cm <sup>2</sup> /sec]	$K'$ [cm <sup>2</sup> /sec]
II $y=0.5$	3.739	0.0157	0.219	0.216
IV $y=0.5$	3.345	0.0306	0.342	0.384
VI $y=0.5$	2.849	0.0357	0.290	0.251
P. W. V.				
II $y=0.5$	5.848	0.0143	0.491	0.422
IV $y=0.5$	4.341	0.0316	0.596	0.388
VI $y=0.5$	3.739	0.0550	0.769	0.616
P. W. V.				
II $y=1.0$	6.389	0.0133	0.543	資料なし
IV $y=1.0$	5.667	0.0520	1.670	
VI $y=1.0$	4.633	0.0505	1.084	

測点	II	IV	VI
5 m/sec	0.56	0.52	0.60
7 m/sec	0.60	0.68	0.62

表-2

2) S.A. KITAIGORODSKII: THE PHYSICS OF AIR-SEA INTERACTION

Israel Program for Scientific Translations.

3) JIN WU: Wind-induced drift currents, J. Fluid Mech. (1975) vol. 68 part 1 pp. 49-70